

Медленные осцилляции магнетосопротивления как метод экспериментального определения параметров электронной структуры квазидвумерных проводников

Pavel Grigoriev

L. D. Landau Institute for Theoretical Physics,
Chernogolovka, Russia

RUSSIAN ACADEMY OF SCIENCES
L. D. LANDAU
INSTITUTE FOR THEORETICAL
PHYSICS

Publications:

Old results (slow oscillations of interlayer magnetotransport):

1. M. V. Kartsovnik, P. D. Grigoriev et al., Phys. Rev. Lett. 89, 126801 (2002)
2. P. D. Grigoriev, Phys. Rev. B 67, 144401 (2003)

New results (slow oscillations of intralayer (in-plane) magnetotransport):

3. P.D. Grigoriev, A.A. Sinchenko, P. Lejay, O. Leynaud, V.N. Zverev, M. Monceau, *Slow oscillations of in-plane magnetoresistance in strongly anisotropic quasi-two-dimensional rare-earth tritellurides*, arXiv:1508.07881

Сочи, "Буревестник", 11-20 сентября 2015

Introduction.

Origin of magnetic quantum oscillations in metals

For parabolic electron dispersion without magnetic field,

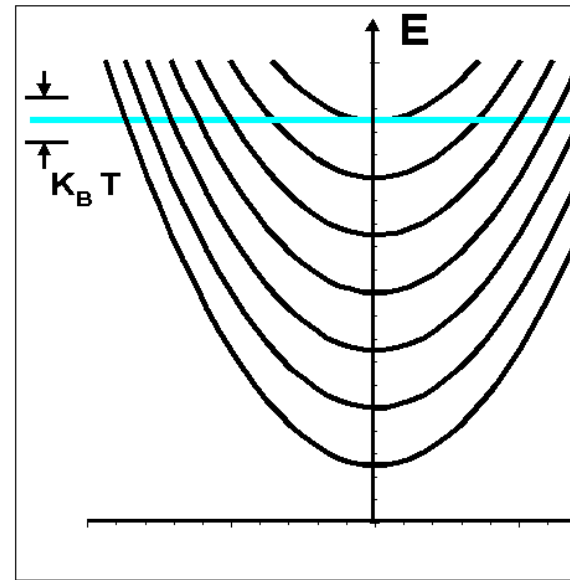
$$\epsilon(\mathbf{p}) = p_x^2/2m_x + p_y^2/2m_y + p_z^2/2m_z,$$

in magnetic field directed along z-axis the dispersion relation is

$$\epsilon(n, p_z) = \hbar\omega_c(n+1/2) + p_z^2/2m_z,$$

where $\omega_c = eB/m^*c$

(Landau level quantization).



As the magnetic field increases the Landau levels periodically cross Fermi level.

This results in magnetic quantum oscillations (MQO) of thermodynamic (DoS, magnetization) and transport electronic properties of metals.

In 3D the DoS oscillations are weak, because the integration over p_z smears them out.

In 2D the DoS oscillations are strong and sharp, leading to sharp and non-sinusoidal oscillations.

Introduction.

MQO of thermodynamic quantities

The thermodynamic potential is given by the integral of DoS

$$\Omega(\mu, B, T) = -T \int_0^{\infty} \rho(E, B) \ln \left[1 + \exp \left(\frac{\mu - E}{T} \right) \right] dE$$

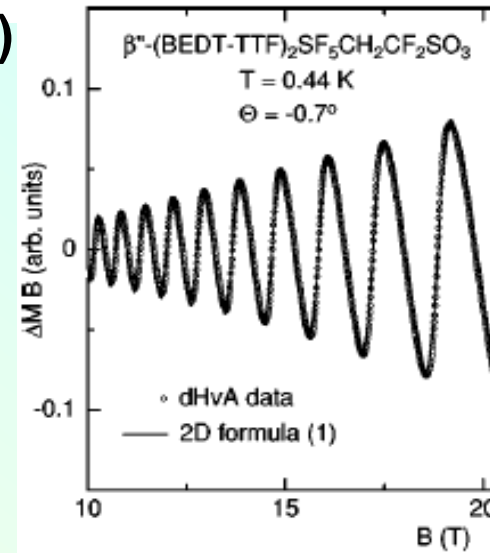
where the density of electron states (DoS) is given by the sum over quantum states (Landau levels and p_z):

$$\rho(E, B) = \int dp_z \sum_n \delta(\varepsilon(n, p_z) - \mu) \frac{eB}{h^2 c}$$

Magnetization is given

by the derivative

$$\tilde{M}(B) = - \frac{\partial \tilde{\Omega}}{\partial B}$$



The transport quantities cannot be calculated so simply, but the oscillating term in 3D metals comes from the scattering rate τ^{-1} proportional to the DoS (in Born approximation). Then

$$\frac{\Delta \tilde{\sigma}_{zz}}{\sigma_{zz}} \sim \frac{\Delta \tilde{\sigma}_{xx}}{\sigma_{xx}} \sim \frac{\Delta \tilde{\sigma}_{yy}}{\sigma_{yy}} \sim v^{-1}(\mu) \sum_m \left(\frac{m_m^* S_m}{H} \right)^2 \frac{\partial \tilde{M}_m}{\partial H},$$

Lifshitz-Kosevich formula for MO

Quantum oscillations of magnetization (de Haas – van Alphen)

$$M \propto eF \sqrt{H / A''} \sum_{p=1}^{\infty} p^{-3/2} \sin \left[2\pi p \left(\frac{F}{H} - \frac{1}{2} \right) \pm \frac{\pi}{4} \right] R_T(p) R_D(p)$$

only difference between 3D and 2D ? [D. Shoenberg]

where the dHvA fundamental frequency $F = chA_{extr} / (2\pi)e$ allows to measure the Fermi-surface shape.

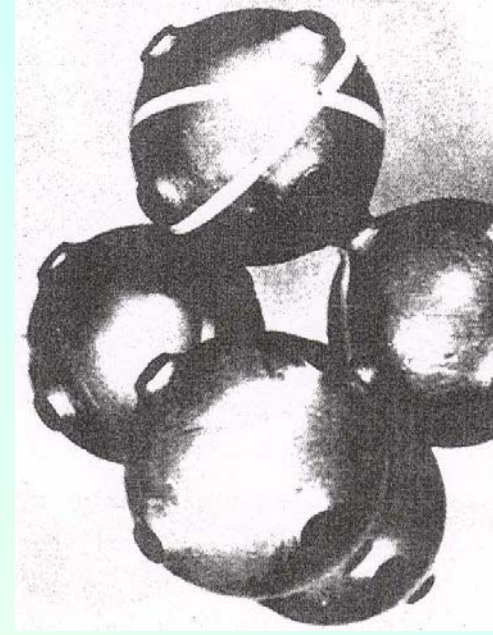
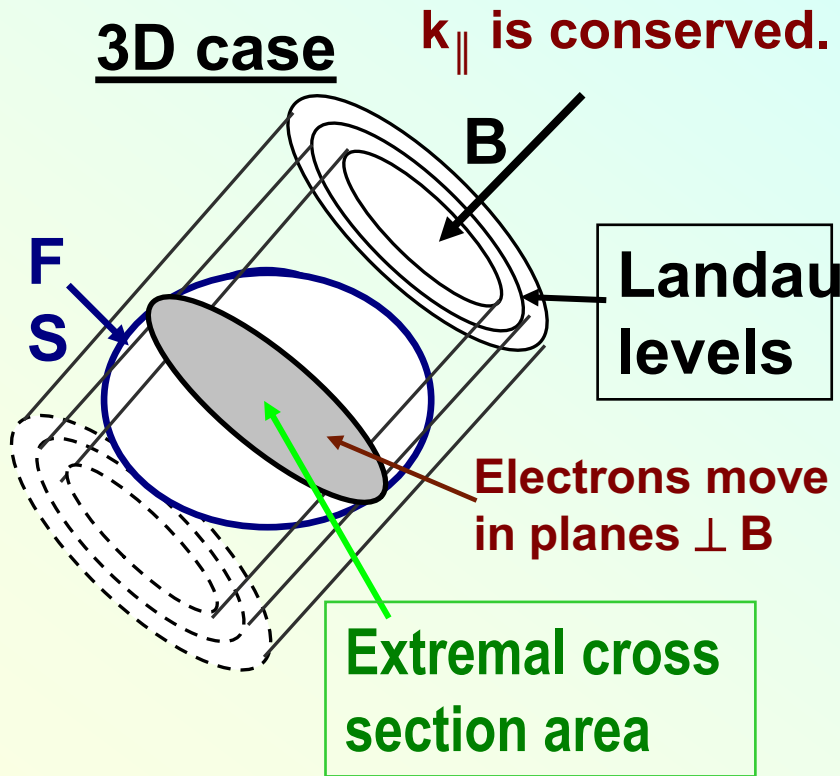
The temperature damping factor $R_T = (2\pi^2 k_B T / \hbar \omega_c) / \sinh$ where $\omega_c = eH / m^* c$, allows to measure m^* .

The scattering (Dingle) damping factor $R_D(p) = \exp\left(\frac{-\pi}{\tau \omega_c}\right) = \exp$

allows to measure the electron mean free time $\tau = h / (2\pi)^2 k_B$

and the spin damping factor $R_s(p) = \cos\left(\frac{\pi p g m^*}{2m_0}\right)$ allows to measure the g (if m^* is known from T-d

3D compounds in tilted magnetic field



Fermi surface of

Extremal cross-section area of Fermi surface (FS), given by MQO frequency and measured at various tilt angles of magnetic field allows to obtain the total FS geometry of metals.

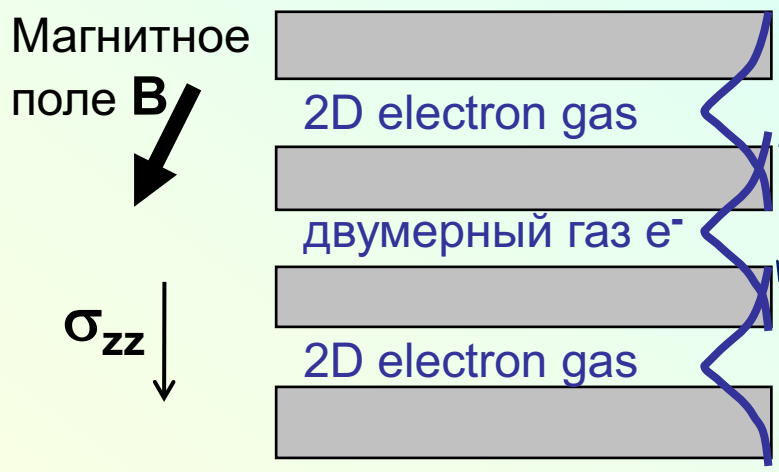
MQO is a traditional tool to study FS geometry

Введение

Слоистые квазидвумерные металлы

Примеры: гетероструктуры, органические металлы, высокотемпературные сверхпроводники, RTe3, и др

В координатном пространстве:



Перекрытие волновых функций на соседних слоях приводит к интегралу межслоевого перескока

Закон дисперсии электронов в при сильной связи резко анизотропны $\epsilon(p) = \epsilon_{||}(p_{||}) + 2t_z \cos(p_z d/\hbar)$, t_z

когерентный межслоевой перескок, с

В импульсном пространстве:



Поверхность Ферми в слоистых квазидвумерных металлах имеет форму гофрированного цилиндра. Величина гофрировки $W =$

Две близкие частоты квантовых осцилляций => их биения:

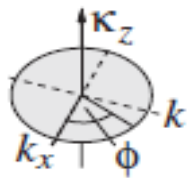
SdH

Introduction

Harmonic expansion for the angle-dependence of FS section area (MQO frequency) in Q2D layered metals

Harmonic expansion of Fermi momentum

$$k_F(\phi, k_z) = \sum_{\mu, \nu \geq 0} k_{\mu\nu} \cos(\nu k_z c^*) \cos(\mu\phi)$$



k_{00}



k_{40}



k_{01}



k_{02}



k_{21}



k_{41}

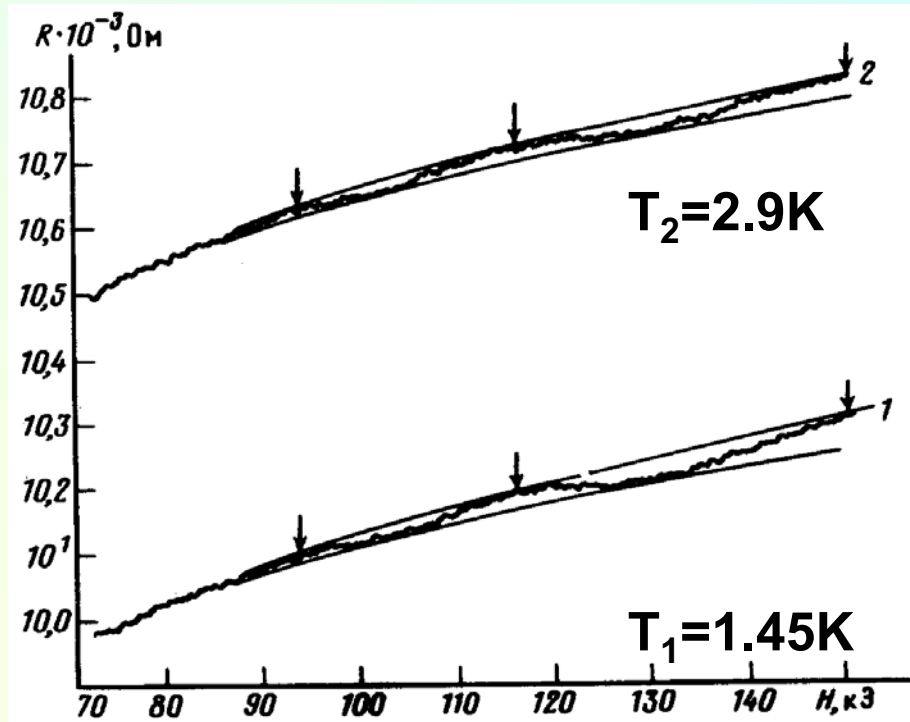
Harmonic expansion of the angular dependence of FS cross-section (measured as the frequency of magnetic quantum oscillations):

$$A(k_{z0}, \theta, \varphi) = \sum_{\mu, \nu} A_{\mu\nu}(\theta) \cos[\mu\varphi + \delta_\mu] \cos(\nu k_z c^*)$$

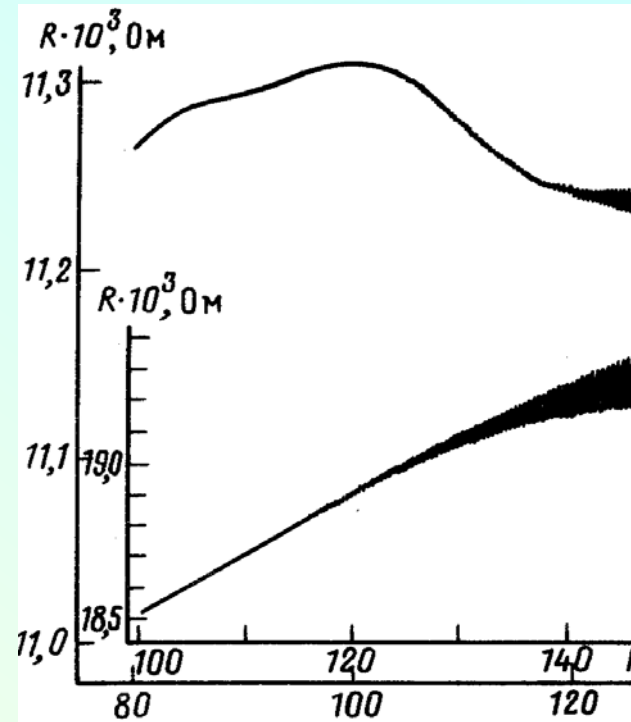
One can derive the relation between the first coefficients $k_{\mu\nu}$

[First order: C. Bergemann et al., PRL 84, 2662 (2000); Adv. Phys. 52, 63
Second order relation between $k_{\mu\nu}$ and $A_{\mu\nu}$: P.D. Grigoriev, PRB 81, 2051

История эффекта медленных осцилляций магнетосопротивления: первые наблюдения на β -(BEDT-T)



M.V. Kartsovnik et al., *Pis'ma Zh. Eksp. Teor. Fiz.* **47**, 302 (1988) [JETP Lett. **47**, 363 (1988)]



M.V. Kartsovnik et al., *Pis'ma Zh. Eksp. Teor. Fiz.* **48**, 498 (1988) [JETP Lett. **48**, 500 (1988)]

На протяжении 15 лет полагали, что медленные осцилляции магнетосопротивления являются квантовыми и происходят из-за малых карманов поверхности Ферми.

На самом деле это новый тип осцилляций, возникающий в квазидвумерных металлах и связанный с межслоевым переносом заряда.

Объяснение медленных осцилляций межслоевого магнетосопротивления в квазидвумерных металлах

Первое объяснение эффекта, его расчет из уравнения Больцмана и подтверждение экспериментом [M.V. Kartsovnik, P.D. Grigoriev et al., PRL 89, 126802 (2002)]

$$\sigma_{zz} = \sigma_0 \left\{ 1 + 2 \sqrt{\frac{\hbar\omega_c}{2\pi^2 t}} \sqrt{1 + a^2} \cos\left(\frac{2\pi\mu}{\hbar\omega_c}\right) \cos\left(\frac{4\pi t_{\perp}}{\hbar\omega_c} - \frac{\pi}{4}\right) + \frac{\hbar\omega_c}{2\pi^2 t_{\perp}} \left[1 + \sqrt{1 + a^2} \cos\left(2\left[\frac{4\pi t_{\perp}}{\hbar\omega_c} - \frac{\pi}{4} + \frac{\phi}{2}\right]\right) \right] \right\}$$

квантовые осцилляции

биения

где $\phi = \arctan(a)$ and $a = \hbar\omega_c / 2\pi t_{\perp}$

медленные осцилляции

Более строгое вычисление межслоевой проводимости по формуле [P.D. Grigoriev, PRB 67, 144401 (2003)] изменяет лишь фазу биений

В отличие от квантовых, медленные осцилляции возникают не из-за карманов поверхности Ферми, а из-за ее гофрировки. Медленные осцилляции имеют второй порядок по фактору Дингла R_D , но не содержат температурный фактор R_T . Частота медленных осцилляций задана интегралом межслоевого перескока t_{\perp} , который немонотонно зависит от угла θ наклона магнитного поля.

Медленные осцилляции и сдвиг фазы биений

могут быть получены и из кинетического уравнения

[M. V. Kartsovnik, P. D. Grigoriev et al., Phys. Rev. Lett. 89, 126802, (2002)]

Формула для проводимости из стандартной теории металлов

$$\sigma_{zz} = \int d\varepsilon [-n'_F(\varepsilon)] \sigma_{zz}(\varepsilon), \quad \text{где} \quad \sigma_{zz}^{3D}(\varepsilon) = e^2 \tau(\varepsilon) \sum_{FS} v_z^2$$

В борновском приближении время свободного пробега $[\varepsilon(p) = \varepsilon_{||}(p_{||}) + 2\varepsilon_{\perp}(p_{\perp})]$

$$\tau(\varepsilon) \propto 1/\rho(\varepsilon) \propto \left[1 + 2 \sum_{p=1}^{\infty} (-1)^p \cos\left(\frac{2\pi p \varepsilon}{\hbar \omega_c}\right) J_0\left(\frac{4\pi p \varepsilon}{\hbar \omega_c}\right) \right]$$

и интеграл

$$I(\varepsilon) \equiv \sum |v_z(\varepsilon)|^2 \propto 1 + \frac{\hbar \omega_c}{\pi t_{\perp}} \sum_{p=1}^{\infty} \frac{(-1)^p}{p} \cos\left(\frac{2\pi p \varepsilon}{\hbar \omega_c}\right) J_1\left(\frac{4\pi p \varepsilon}{\hbar \omega_c}\right)$$

Это дает (при $4\pi t_{\perp} \gg \hbar \omega_c$)

$$\sigma_{zz} = \sigma_0 \left\{ 1 + 2 \sqrt{\frac{\hbar \omega_c}{2\pi^2 t}} \sqrt{1 + a^2} \cos\left(\frac{2\pi \mu}{\hbar \omega_c}\right) \cos\left(\frac{4\pi t_{\perp}}{\hbar \omega_c} - \frac{\pi}{4}\right) \right.$$

медленные осцилляции

$$\left. + \frac{\hbar \omega_c}{2\pi^2 t_{\perp}} \left[1 + \sqrt{1 + a^2} \cos\left(2 \left[\frac{4\pi t_{\perp}}{\hbar \omega_c} - \frac{\pi}{4} + \frac{\phi}{2} \right] \right) \right] \right\}$$

Calculation (from Kubo formula) of quasi-2D Sd (magnetotransport oscillations) in next order in

[P.D. Grigoriev, Phys. Rev. B **67**, 144401 (2003)]

Energy spectrum $\epsilon(n, k_z) = \hbar\omega_c (n + 1/2) - 2t_z^2 k_z^2$

Kubo formula $\sigma_{zz} = \frac{e^2 \hbar}{V} \sum_m v_z^2(m) \int_{-\infty}^{\infty} \frac{d\varepsilon}{2\pi} |2\text{Im}G_R(m, \varepsilon)|^2$

where $\hbar v_z(\varepsilon, n) = \partial\varepsilon / \partial k_z = d \sqrt{4t_z^2 - [\varepsilon - \omega_c(n + 1/2)]^2}$

$$\text{Im}G_R(m, \varepsilon) = \frac{\text{Im}\Sigma^R(m, \varepsilon)}{[\varepsilon - \epsilon(m) - \text{Re}\Sigma^R(m, \varepsilon)]^2 + [\text{Im}\Sigma^R(m, \varepsilon)]^2}$$

Scattering on point-like impurities in self-consistent Born approximation gives

$$\Sigma = \text{---} + \text{---}$$

$$\Sigma^R(m, \varepsilon) = \left\langle \sum_i U^2 G(r, r, \varepsilon) \right\rangle = \Sigma^R(\varepsilon) = C_i U^2 \int d^3 r$$

Расчет по формуле Кубо (2)

Суммирование по номеру уровня Ландау n заменяется суммированием по гармоникам используя формулу Пуассона.

Когда затухание гармоник сильное, $R_D J_0(4\pi k t_z / \hbar \omega_c) \sim R_D \sqrt{\hbar \omega_c}$ можно оставить только первые гармоники в выражении для проводимости.

Это дает $\sigma_{zz} = \int d\varepsilon [-n'_F(\varepsilon)] \sigma_{zz}(\varepsilon)$, где **сдвиг фазы**

$$\frac{\sigma_{zz}(\varepsilon)}{\sigma_0} = 1 + \left[2J_0\left(\frac{4\pi t_z}{\hbar \omega_c}\right) - \left(\frac{\hbar \omega_c}{\pi t_z} + \frac{2\Gamma_0}{t_z}\right) J_1\left(\frac{4\pi t_z}{\hbar \omega_c}\right) \right] \cos\left(\frac{2\pi t_z}{\hbar \omega_c} \varepsilon\right) + \left[4J_0^2\left(\frac{4\pi t_z}{\hbar \omega_c}\right) - \frac{2\hbar \omega_c}{\pi t_z} J_1\left(\frac{4\pi t_z}{\hbar \omega_c}\right) J_0\left(\frac{4\pi t_z}{\hbar \omega_c}\right) \right] \cos^2\left(\frac{2\pi t_z}{\hbar \omega_c} \varepsilon\right)$$

медленные осцилляции

квантовые осцилляции

При $4\pi t_z \gg \hbar \omega_c$ функции Бесселя приближенно даны асимптотическими разложениями:

$$J_0(x) \approx \sqrt{2/\pi x} \cos(x - \pi/4)$$

$$J_1(x) \approx \sqrt{2/\pi x} \sin(x - \pi/4)$$

Результат для проводимости при $4\pi t_z \gg$

Используя тождество $\cos(F_0 + \Delta F) \cos(F_0 - \Delta F) = \frac{\cos(2F_0) + \cos(2\Delta F)}{2}$

и оставляя только нулевую и первую гармоники МКО, получим более наглядное выражение для проводимости :

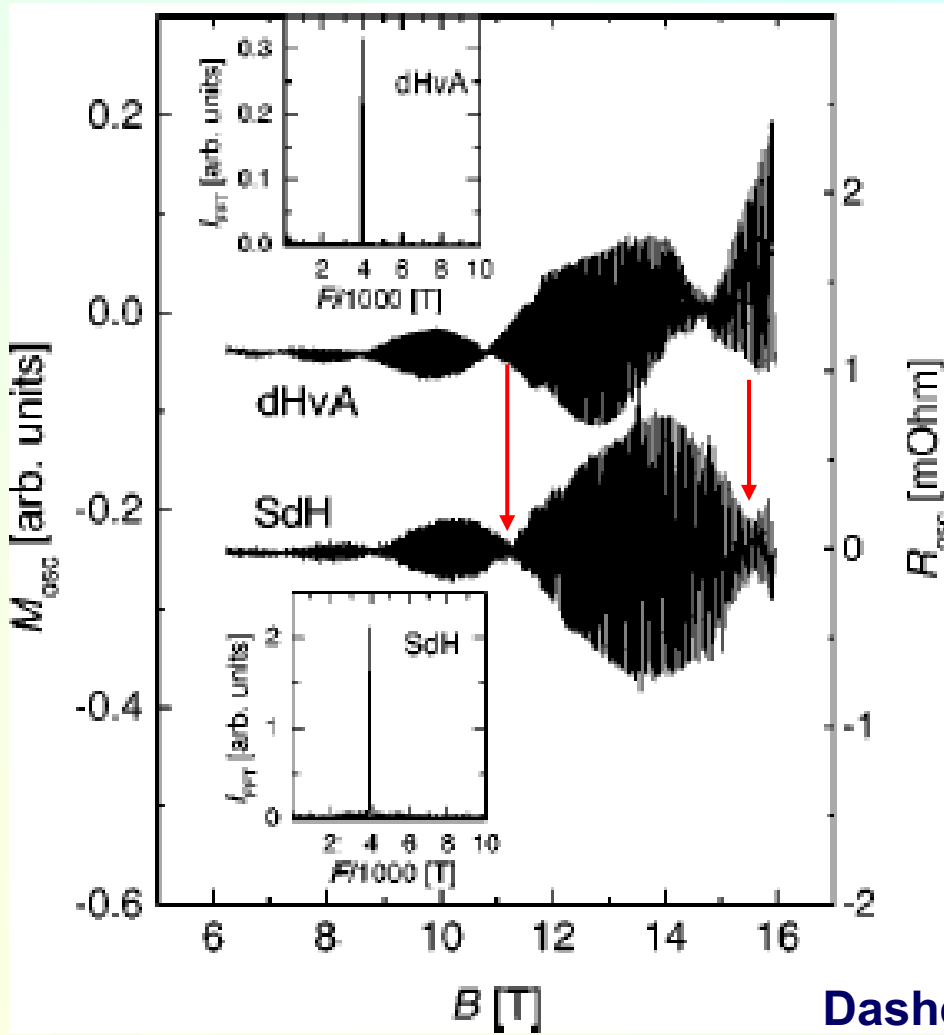
$$\sigma_{zz} = \sigma_0 \left\{ 1 + 2 \sqrt{\frac{\hbar\omega_c (1 + a_\phi^2)}{2\pi^2 t_z}} \cos\left(\frac{2\pi\mu}{\hbar\omega_c}\right) \cos\left(\frac{4\pi t_z}{\hbar\omega_c} - \frac{\pi}{4}\right) + \frac{\hbar\omega_c}{2\pi^2 t_z} R_D^2 \sqrt{1 + a_S^2} \cos\left[2\left(\frac{4\pi t_z}{\hbar\omega_c} - \frac{\pi}{4} + \phi_S\right)\right] \right\}$$

где $\phi_b = \arctan(a_\phi)$; $a_\phi = \frac{\hbar\omega_c}{2\pi t_z} \left(1 + \frac{2\pi\Gamma_0}{\hbar\omega_c}\right)$,

и $\phi_S = \arctan(a_S)/2$ где $a_S = \hbar\omega_c/2\pi t_z$.

медле
осцил

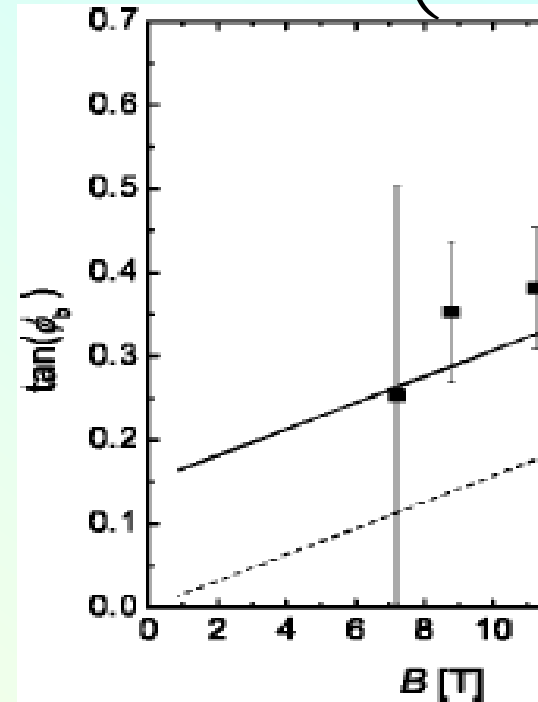
Phase shift of beats of MQO in quasi-2D material



Phase shift of beats in β -(BEDT-TTF)IBr₂

Magnetic-field dependence of the phase shift of MQO

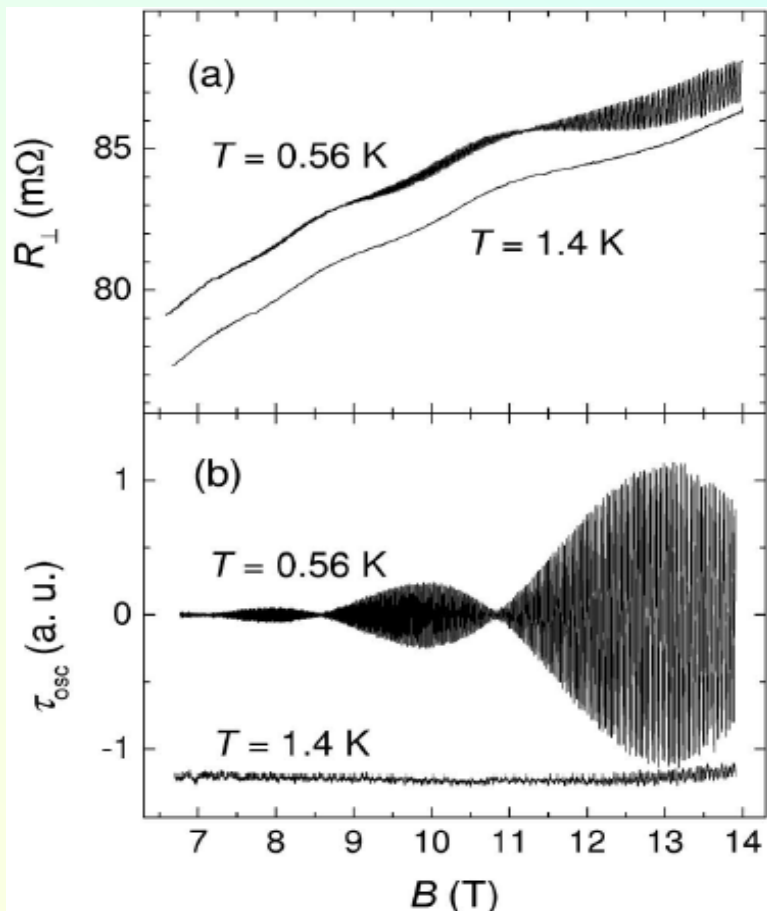
$$\phi_b(B) = \arctan\left(\frac{\omega_c}{2\pi\nu}\right)$$



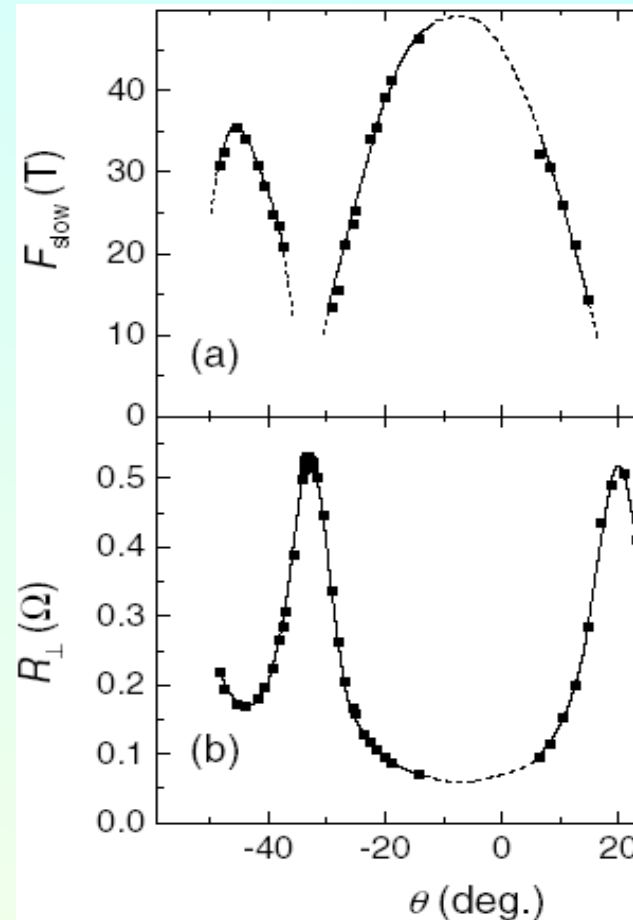
Dashed line - result of Boltzmann equation; [P. D. Grigoriev et al., Phys. Rev. B 67, 104407 (2003)]
 Solid line is obtained from the Kubo formula; [P. D. Grigoriev, Phys. Rev. B 67, 104407 (2003)]

Slow oscillations (comparison with experiment)

[M. V. Kartsovnik, P. D. Grigoriev et al., Phys. Rev. Lett. 89, 126802,



General view of quantum & slow oscillations of magnetoresistance



Angle dependence of the frequency of slow oscillations is similar to

$$F_{slow} = \frac{2t_z B}{\hbar\omega_c} = \frac{2t_z m^* c}{e\hbar \cos \theta} \propto \frac{t_z(\theta)}{\cos \theta} \propto \frac{J_0(k_F)}{c \cos \theta}$$

Почему медленные осцилляции слабые подавляются температурой?

Проводимость $\sigma_{zz} = \int d\varepsilon [-n'_F(\varepsilon)] \sigma_{zz}(\varepsilon),$ **сдвиг фазы**

$$\frac{\sigma_{zz}(\varepsilon)}{\sigma_0} = 1 + \left[2J_0\left(\frac{4\pi t_z}{\hbar\omega_c}\right) - \left(\frac{\hbar\omega_c}{\pi t_z} + \frac{2\Gamma_0}{t_z}\right) J_1\left(\frac{4\pi t_z}{\hbar\omega_c}\right) \right] \cos\left(\frac{2\pi t_z \varepsilon}{\hbar\omega_c}\right) + \left[4J_0^2\left(\frac{4\pi t_z}{\hbar\omega_c}\right) - \frac{2\hbar\omega_c}{\pi t_z} J_1\left(\frac{4\pi t_z}{\hbar\omega_c}\right) J_0\left(\frac{4\pi t_z}{\hbar\omega_c}\right) \right] \cos^2\left(\frac{2\pi t_z \varepsilon}{\hbar\omega_c}\right)$$

медленные осцилляции **квантовые осцилляции**

Интегрирование быстро осциллирующей функции энергии дает температурный фактор затухания $R_T = (2\pi^2 k_B T / \hbar\omega_c) / \sinh(2\pi^2 k_B T / \hbar\omega_c)$

Медленно осциллирующий не зависит от ε и поэтому не подвержен температурному затуханию R_T . Однако, фактор Дингла тоже зависит от температуры из-за рассеяния на фононах и e-e взаимодействия. Поэтому при высокой температуре медленных осцилляций не наблюдается.

Мотивация

Ранее медленные осцилляции изучались только для проводимости поперек слоев и вдоль магнитного поля, и оказались полезны для определения параметров электронной структуры t_z и k_F .

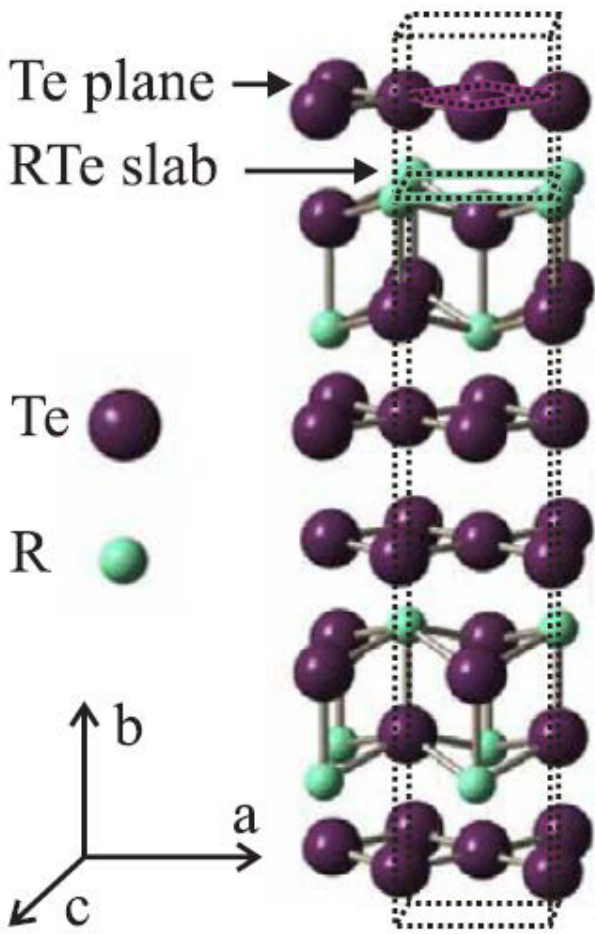
Проблема: во многих соединениях измерение проводимости поперек слоев намного сложнее технически и менее точное, чем вдоль проводящих слоев.

Вопрос: Могут ли медленные осцилляции в этой геометрии (σ вдоль проводящих слоев и \perp поперек) также наблюдаться и давать полезную информацию об электронной структуре соединений?

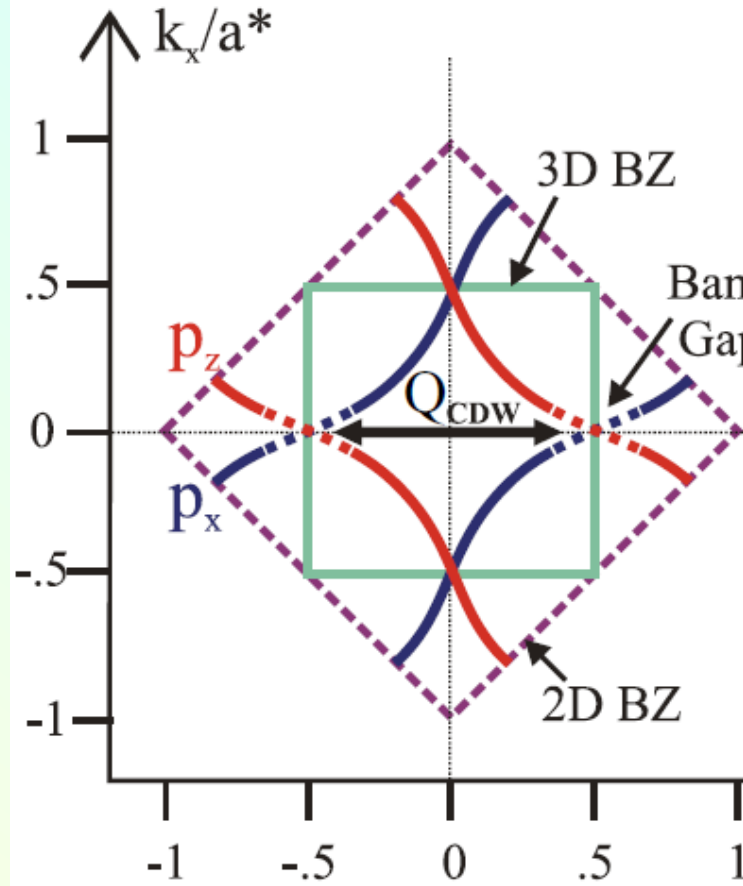
Introduction

Crystal structure of rare-earth tritellurides (R = Y, La, Ce, Nd, Sm, Gd, Tb, Ho, Dy, Er, Tm)

(a) Crystal Structure



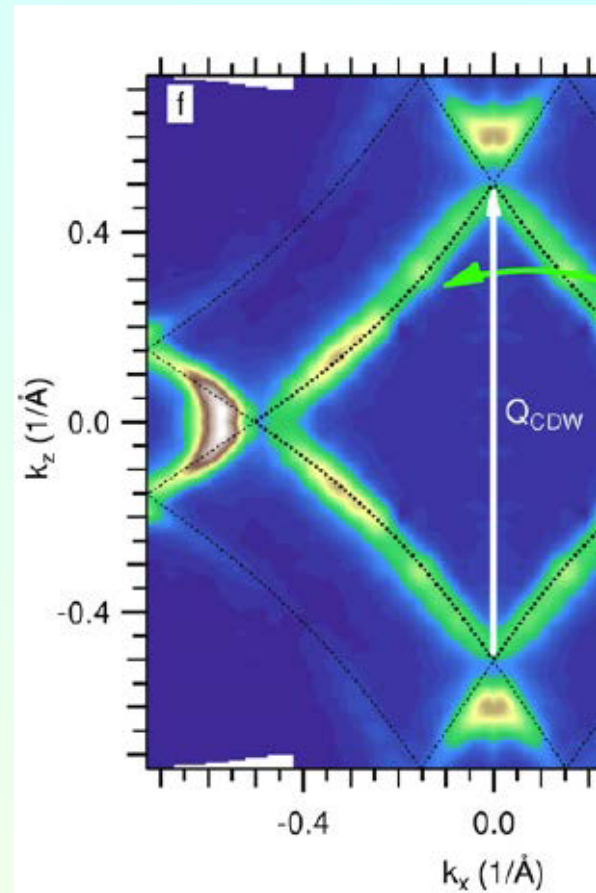
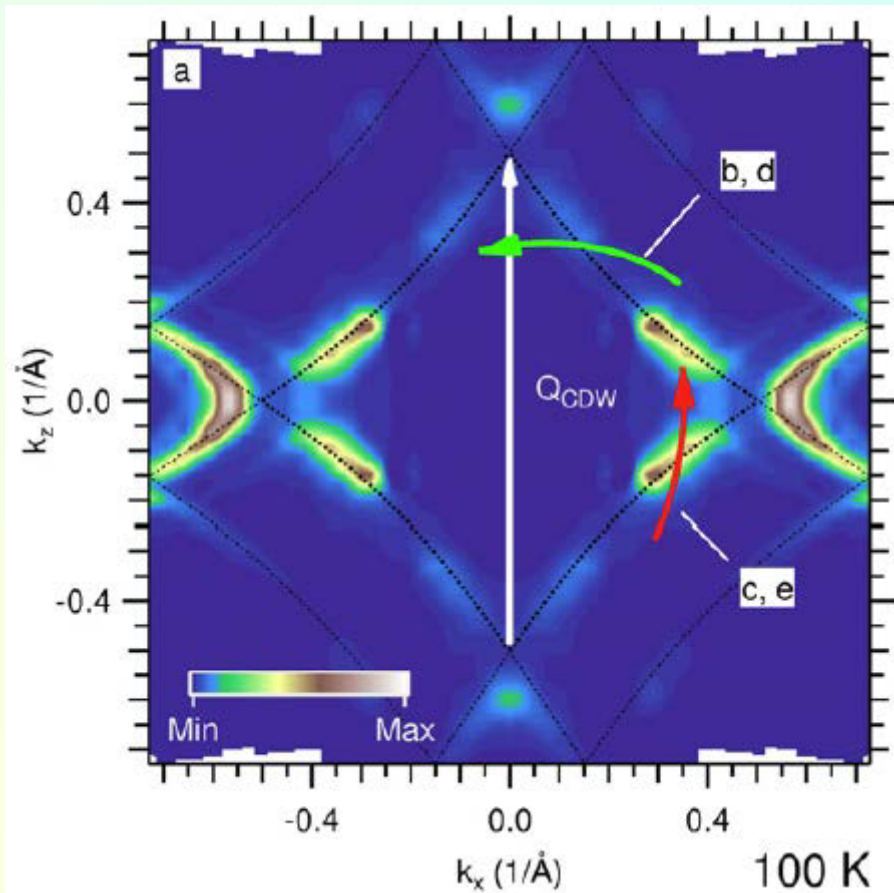
(c) Fermi Surface



F. Schmitt et al., New Journal of Physics 13, 063022 (2011)

Introduction

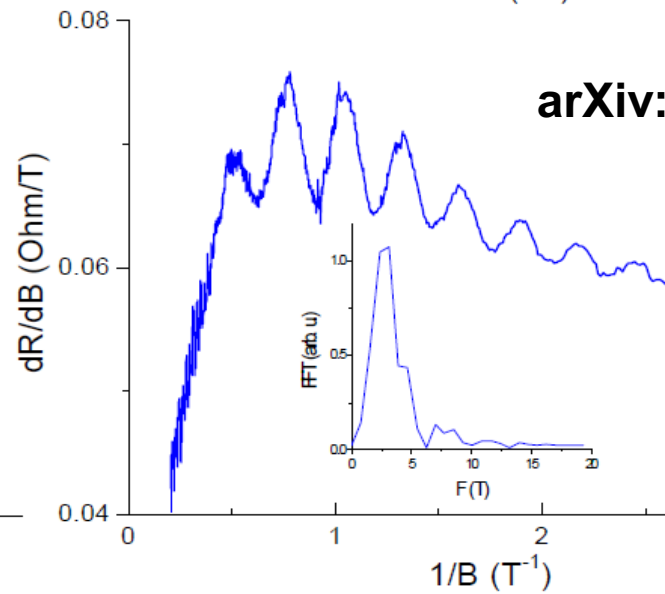
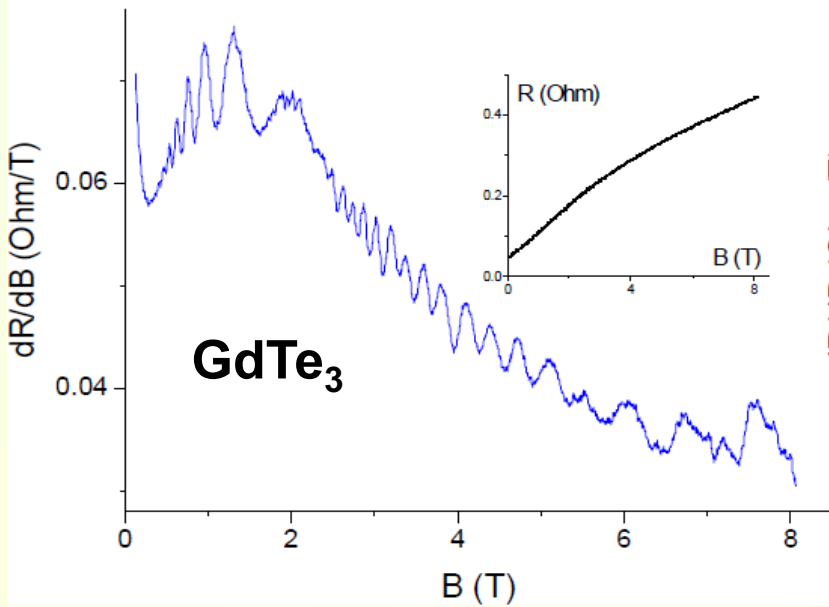
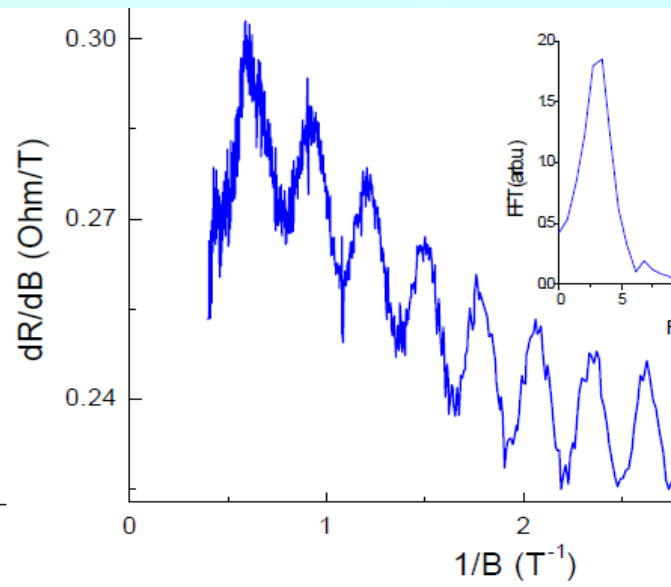
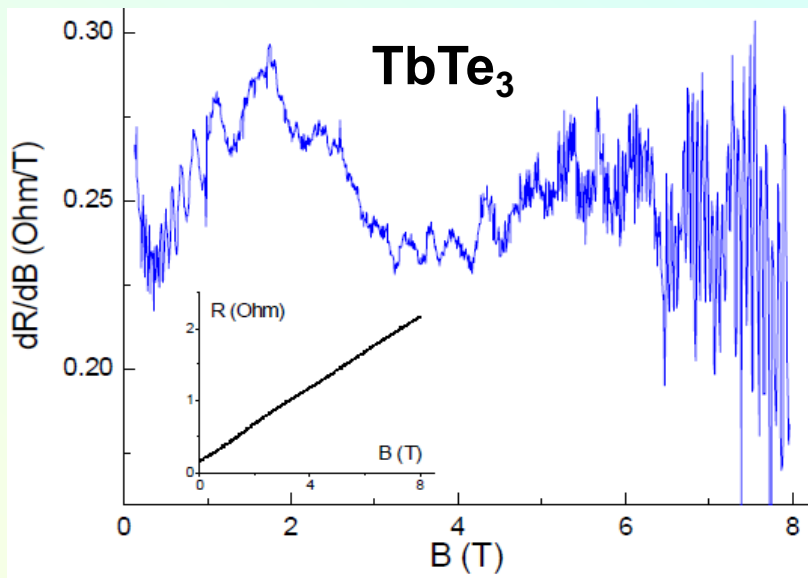
ARPES data on momentum dependence of CDW energy gap in TbTe_3



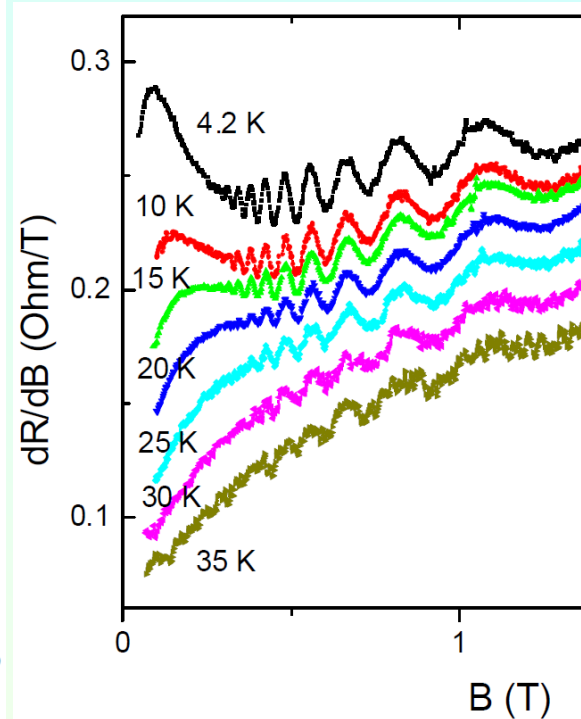
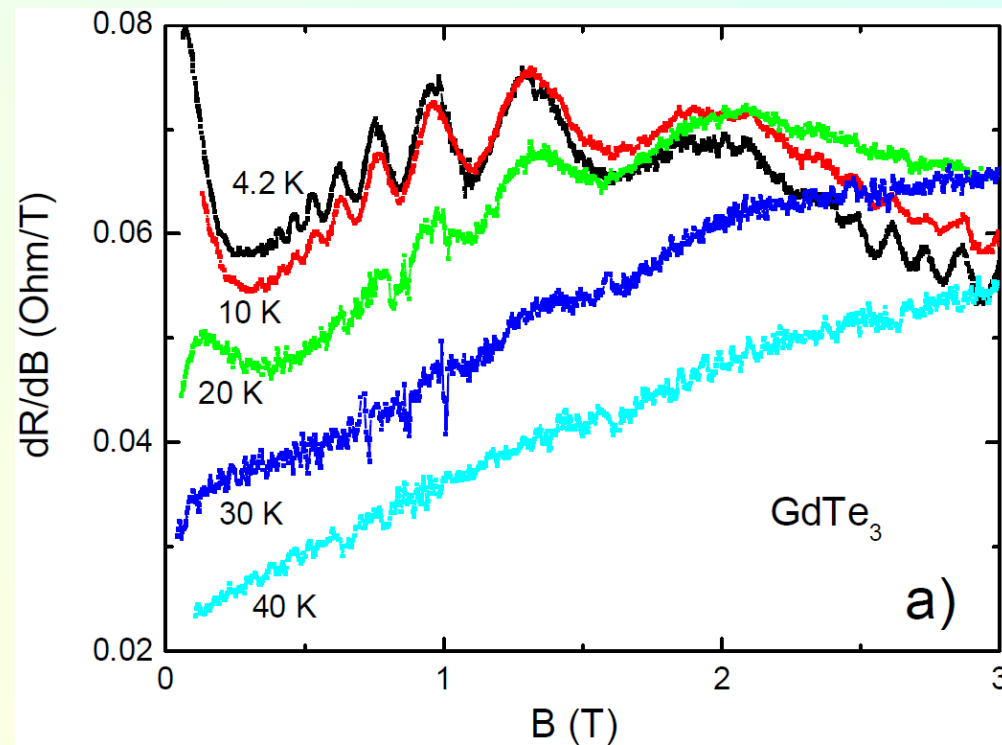
F. Schmitt et al., *New Journal of Physics* 13, 063022 (2011)

ARPES usually gives the Fermi surface only at large energy at rather high temperature. The phase transitions at low T_c are

Медленные осцилляции проводимости в эксперимент в трителлуридах редкоземельных металлов

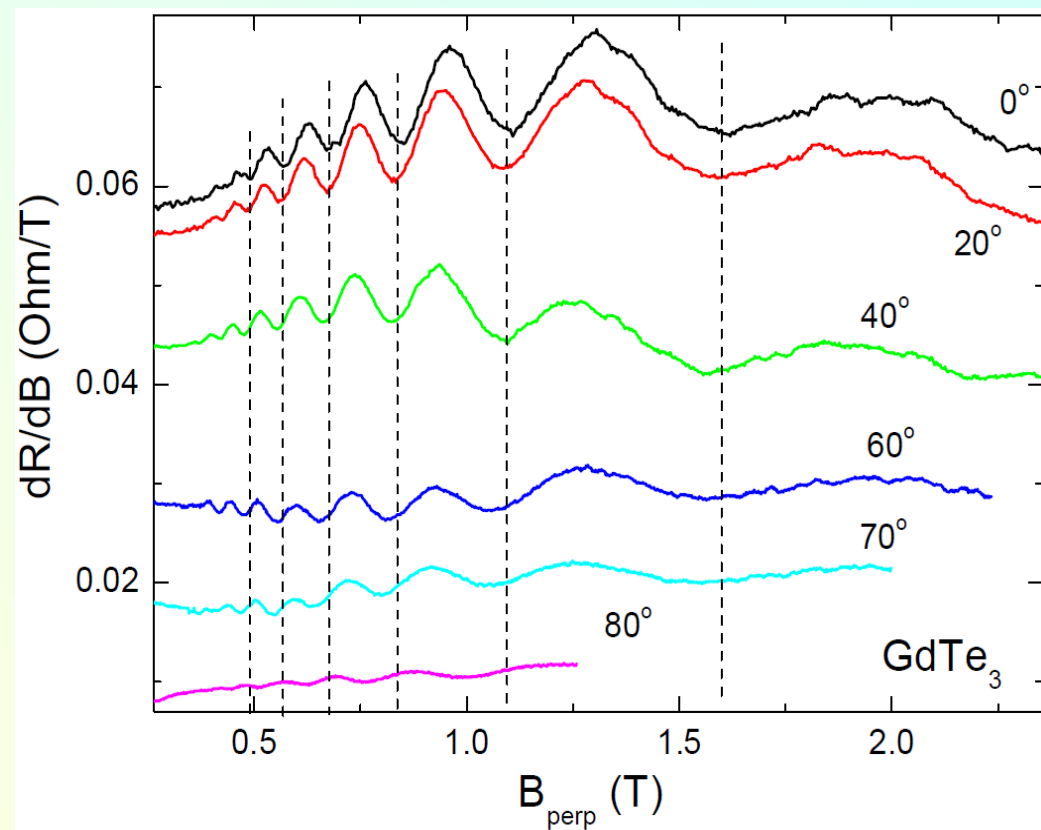


Температурное затухание медленных осцилляций очень слабое (заметны при 40К, хотя квантовые осцилляции подавлены при ~4К)



Никакие квантовые осцилляции в полях до 1Т и температурах до 40К не наблюдаются, а тем более определить частоту их биения. Поэтому нет других методов определить t_z и $k_F(\phi)$ в этом и

Угловая зависимость частоты медленных осцилляций



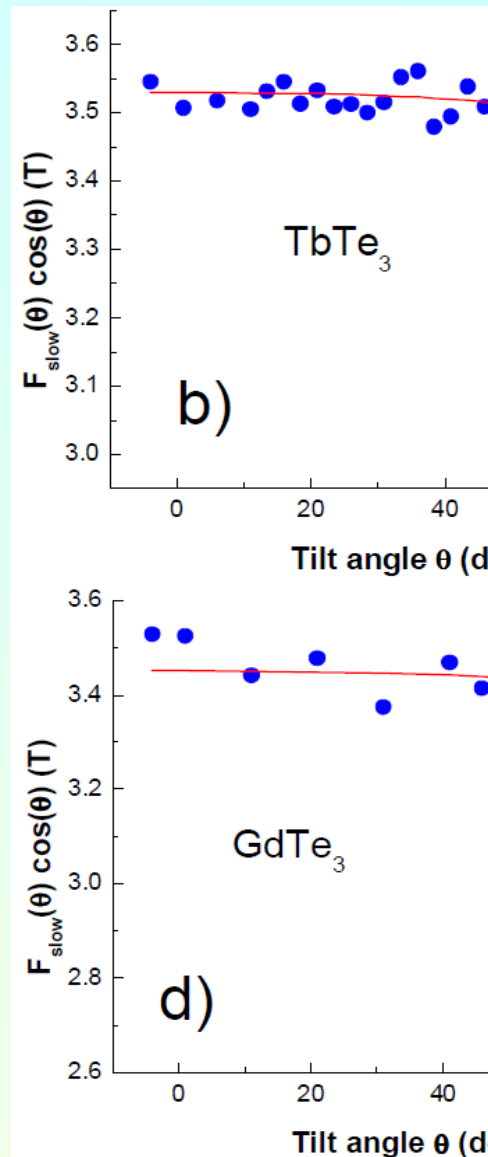
Частота медленных осцилляций

$$F_{slow}(\theta) / F_{slow}(0) = J_0(k_F d \tan \theta) / \cos(\theta)$$

отклоняется от
зависимости

$$F(\theta) = F(0) / \cos(\theta)$$

это вместе со слабой температурной зависимостью указывает на природу наблюдаемых медленных (а не квантовых) осцилляций



Медленные осцилляции проводимости в о перпендикулярно магнитному полю $\mathbf{B} = B_z$ (качес

Согласно стандартной теории [Л.Л. 10 том, Ур. (90.5)] пров
поперек магнитного поля в металлах $\sigma_{yy}(\varepsilon) = e^2 g(\varepsilon)$

где плотность состояний в квази-двумерном металле

$$g(\varepsilon) \approx g_0 \left[1 - 2 \cos \left(\frac{2\pi\varepsilon}{\hbar\omega_c} \right) J_0 \left(\frac{4\pi t_z}{\hbar\omega_c} \right) R_D \right]$$

а вычисление коэффициента диффузии $D_{yy}(\varepsilon)$ зависит от

Без примесей в магнитном поле коэффициент диффузии

Коэффициент диффузии в слое из-за
рассеяния на примесях приближенно $D_y(\varepsilon) \approx \langle (\Delta y)^2 \rangle$

Рассеяние на точечных примесях имеет матричный элемент

$$T_{mm'} = \Psi_{m'}^*(r_i) U \Psi_m(r_i) \quad \text{где} \quad m \equiv \{n, k_z, k_x\}$$

During each scattering, the typical change $\Delta y = \Delta P_x c / e B_z$ of the m
coordinate y_0 perpendicular to \mathbf{B} is of the order of R_L , becau
 $\Delta y \gg R_L$ the matrix element $T_{mm'}$ is exponentially small beca
overlap of the electron wave functions $\Psi_{m'}^*(r_i) \Psi_m(r_i) \sim \Psi_m^*(r_i +$

Медленные осцилляции проводимости в сл

$$\sigma_{yy}(\varepsilon) = e^2 g(\varepsilon) D_y(\varepsilon) \quad \text{где} \quad D_y(\varepsilon) \approx \langle (\Delta y)^2 \rangle$$

$$\Delta y \sim R_L, \quad \text{в борновском приближении} \quad 1/\tau(\varepsilon) = 2\pi$$

$$\text{и плотность состояний} \quad g(\varepsilon) \approx g_0 \left[1 - 2 \cos\left(\frac{2\pi\varepsilon}{\hbar\omega_c}\right) J_0\left(\frac{4\pi t_z}{\hbar\omega_c}\right) R_D \right]$$

Квантовые осцилляции коэффициента диффузии прибли

$$D_y(\varepsilon) \approx D_0 \left[1 - 2\alpha \cos\left(\frac{2\pi\varepsilon}{\hbar\omega_c}\right) J_0\left(\frac{4\pi t_z}{\hbar\omega_c}\right) R_D \right]$$

$$\text{Получаем} \quad \frac{\sigma_{yy}(B)}{e^2 g_0 D_0} \approx 1 + 2\alpha J_0^2\left(\frac{4\pi t_z}{\hbar\omega_c}\right)$$

медленные ос

$$- 2(\alpha + 1) \cos\left(\frac{2\pi\mu}{\hbar\omega_c}\right) J_0\left(\frac{4\pi t_z}{\hbar\omega_c}\right)$$

квантовые осцилляции

Медленные осцилляции проводимости в сл

При $4\pi t_z \gg \hbar\omega_c$
получаем

$$\frac{\sigma_{yy}^{slow}(B)}{e^2 g_0 D_0} \approx 1 + \frac{\alpha \hbar \omega_c}{2\pi^2 t_z} \sin\left(\frac{2\pi F_{slow}}{B}\right)$$

где частота
медленных
осцилляций

$$F_{slow} = \frac{2t_z B}{\hbar\omega_c} = \frac{2t_z m^* c}{e\hbar \cos\theta} \propto \frac{t_z(\theta)}{\cos\theta} \propto \frac{J_0(\theta)}{\cos\theta}$$

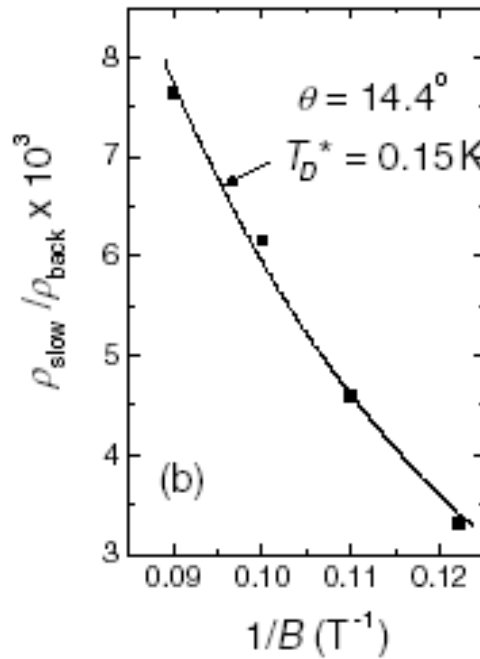
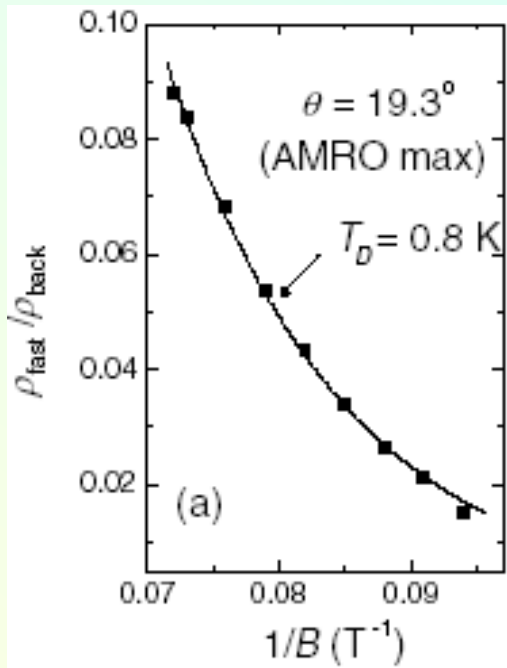
позволяет определить из эксперимента (1) величину t_z между интеграла перескока и (2) импульс Ферми $k_F d$ в проводящем канале, что было нами проделано для нескольких RTe₃ [arXiv:1504.01001]

Природа медленных осцилляций продольного и поперечного магнитосопротивления одинаковая: они возникают из-за нелинейной зависимости (произведения) осцилляций с близкими частотами:

$$\cos(F_0 + \Delta F) \cos(F_0 - \Delta F) = \frac{\cancel{\cos(2F_0)} + \cos(2\Delta F)}{2}$$

↑
медленные осцилляции

Dingle factors of slow and quantum oscilla



3). The Dingle temperature of slow and fast quantum oscillations are different. T_D^{Slow} does not correspond to long-range (macroscopic) disorder, which shifts the energy and contributes

This allows to separate the contribution of short-range impurities

Conductivity $\sigma_{zz} = \int d\varepsilon [-n'_F(\varepsilon)] \sigma_{zz}(\varepsilon),$

This gives $\frac{\sigma_{yy}(B)}{e^2 g_0 D_0} \approx 1 + 2\alpha J_0^2 \left(\frac{4\pi t_z}{\hbar\omega_c} \right)$

$-2(\alpha + 1) \cos \left(\frac{2\pi\mu}{\hbar\omega_c} \right) J_0 \left(\frac{4\pi t_z}{\hbar\omega_c} \right)$

quantum oscillations \nearrow $J_0 \left(\frac{4\pi t_z}{\hbar\omega_c} \right)$ \leftarrow slow oscillation

Выводы

1. Получено качественное описание медленных осцилляций проводимости вдоль металлических слоев и \perp магнитного поля и проведены измерения этого эффекта в $R\text{Te}_3$.
2. Частота медленных осцилляций позволяет определить $t_z \approx 1\text{meV}$ и импульс Ферми $k_F d \approx 0.12$ в проводящем слое. Эксперимента по медленным осцилляциям проводимости. Если получить $k_F d$ можно из данных ARPES, то других способов определить межслоевой интеграл перескока нет, поскольку квантовых осцилляций сложно наблюдать из-за условия $k_F d \ll \Gamma_0$, а измерить $\sigma_{zz}(\theta)$ сложно из-за геометрии монокристалла.
3. В отличие от квантовых, медленные осцилляции наблюдаются в широком интервале температуры и поэтому позволяют проанализировать изменения электронной структуры при фазовых переходах.
4. Медленные осцилляции проводимости вдоль слоев – это удобный способ измерения величин t_z и $k_F d$ в квазидвумерных металлах. Этот метод может применяться в других слоистых проводниках.

Спасибо за внимание!